



# 光的叠加Ⅱ

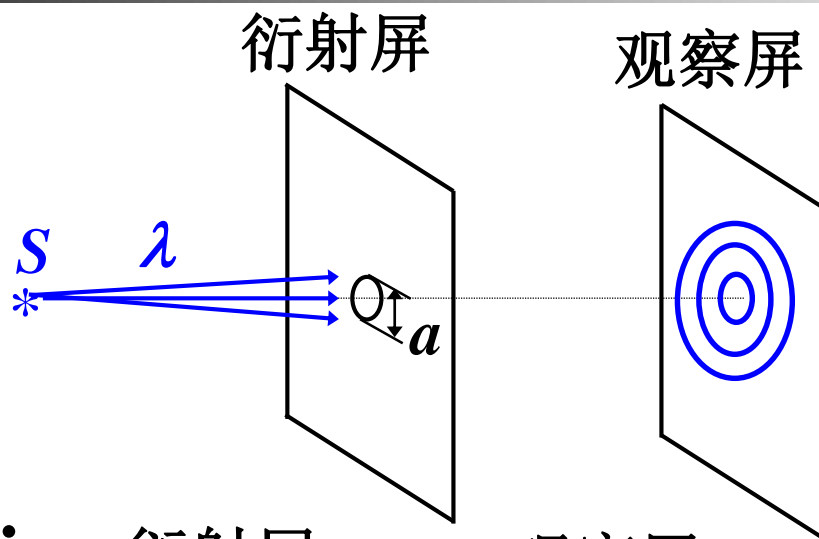
- 衍射现象是波动性的另一重要表现。它也是光相干叠加的结果。

波在传播过程中遇到障碍物，能够绕过障碍物的边缘前进这种偏离直线传播的现象称为衍射现象。

衍射是波的共性。波长较长的波较容易观察到衍射，如无线电波和声波，光波的衍射最早由格利马尔第（Grimaldi）于1665年观察到，1818年菲涅尔解释。

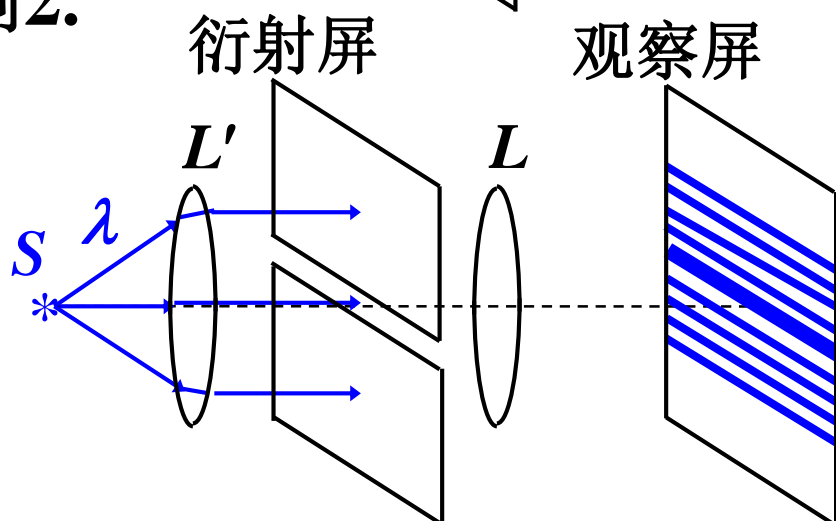
衍射是波动性的重要依据。1924年德布洛意关于物质波的假设，也是由电子衍射实验证实。

例1.

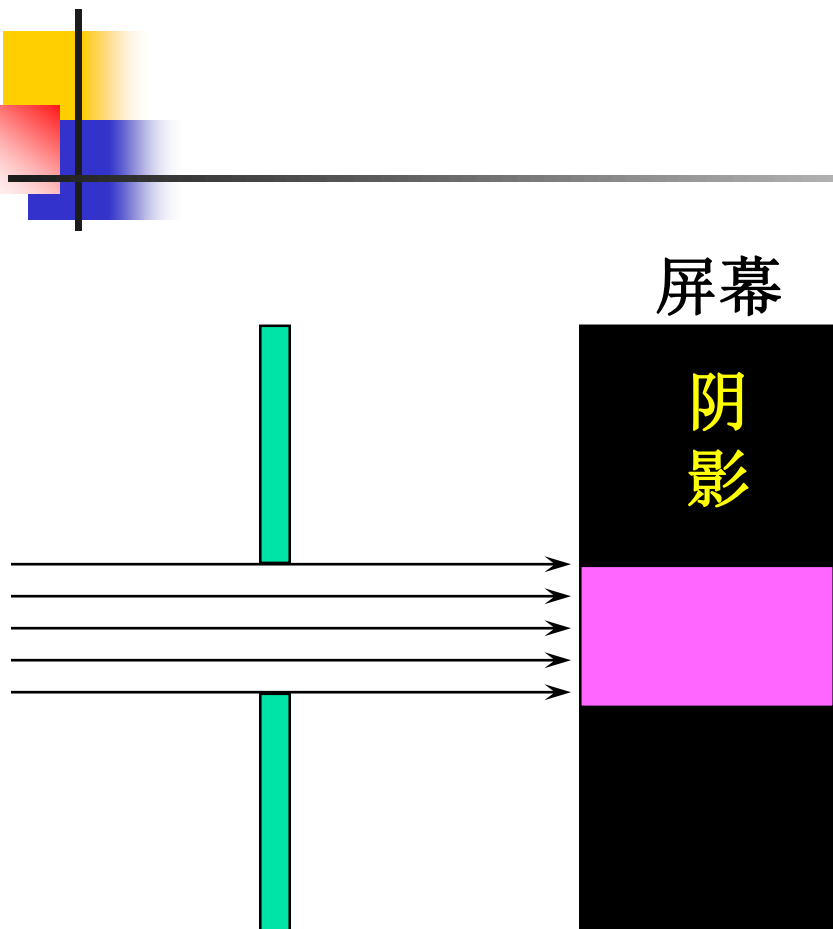


不但光线拐弯，  
而且在屏上出现  
明暗相间的条纹。

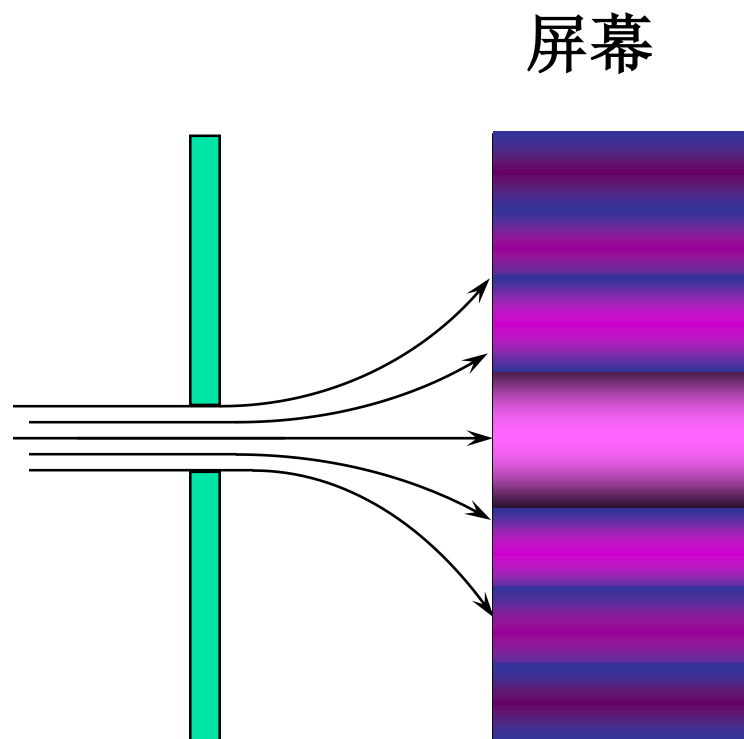
例2.



透过手指缝看日光灯，  
也能看到衍射条纹。



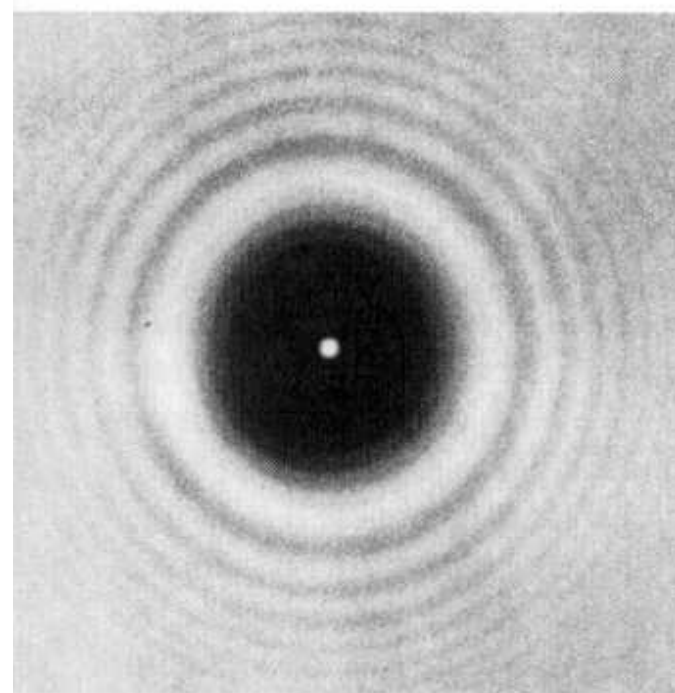
缝较大时，光是直线传播的



缝很小时，衍射现象明显



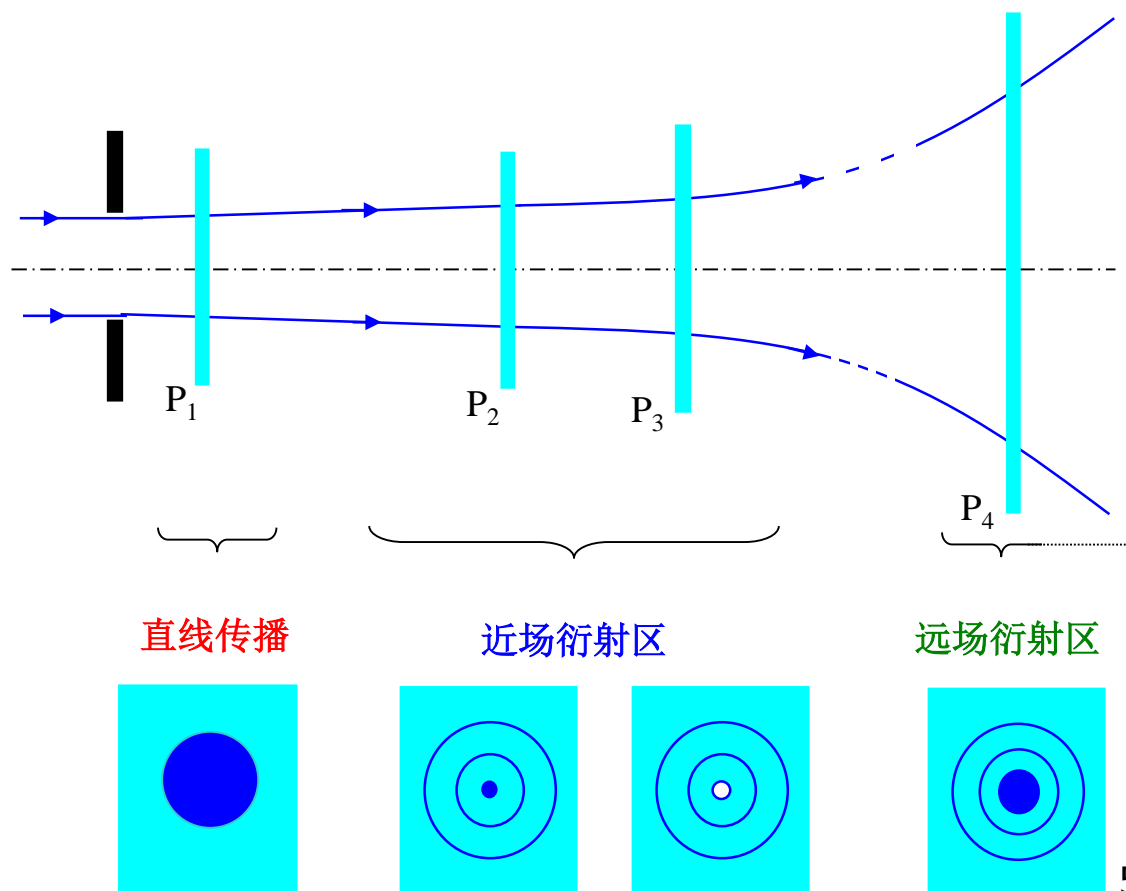
刀片边缘的衍射



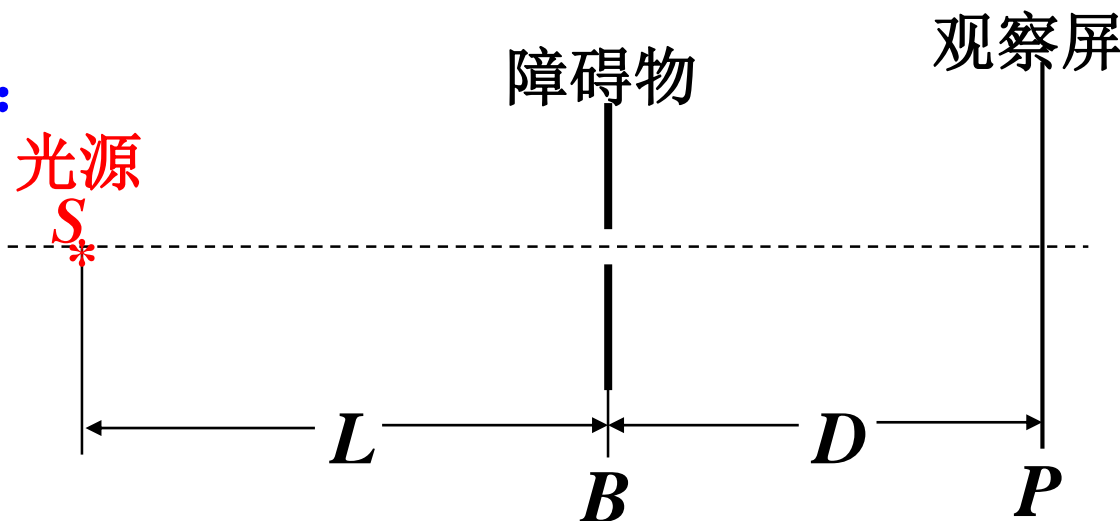
圆屏衍射  
(泊松点)

- 不同的观察区域，有不同的观察结果。

**例1：**平行单色光照到一圆孔上，在孔板后不同处的面上观察光的不同特点



- 衍射的分类:



(1) 菲涅耳 (**Fresnel**) 衍射 — 近场衍射

$L$  和  $D$  中至少有一个是有限值。

(2) 夫琅禾费 (Fraunhofer) 衍射 — 远场衍射

$L$  和  $D$  皆为无限大 (也可用透镜实现)。

- 这种分类是从理论计算上考虑的。菲涅尔衍射是普遍，而夫朗和费衍射仅是它的一个特例。
  - 由于夫朗和费衍射的计算要简单的多，因此把它单归一类
  - “远”和“近”与衍射孔径 $D$ 及波长 $\lambda$ 的相对大小有关：
    - 对一定的 $\lambda$ ，若 $D$ 越小，衍射现象越明显。
    - 对一定的 $D$ ，若 $\lambda$ 越小，衍射现象越不明显。
- 观察衍射现象一般都是在远处，且使 $\lambda \sim D$ （衍射现象明显）。
- 当 $\lambda/D \rightarrow 0$ 时，波动光学  $\rightarrow$  几何光学

## § 4.1 惠更斯—菲涅尔原理

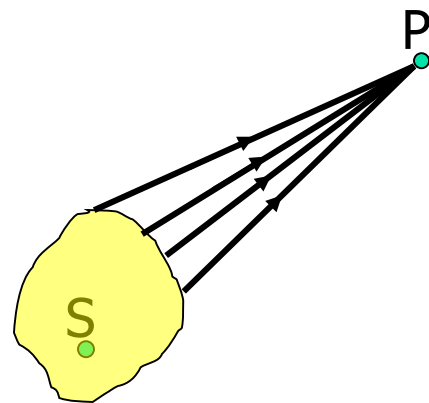
- 惠更斯原理（1678年）认为：波前上每一个点都可看做是发出球面子波的波源。

- 不能说明在不同方向上波的强度分布

菲涅尔1818年将惠更斯的子波概念修正为：

- 1) 波传到的任意点都是子波的波源；
- 2) 各子波在空间各点进行相干叠加。

波所到达的任意点都可看作是能发出球面子波的波源，空间中任意点P的振动是包围波源的任意闭合曲面上发出的子波在该点的相干叠加。





## § 4.1 惠更斯—菲涅尔原理

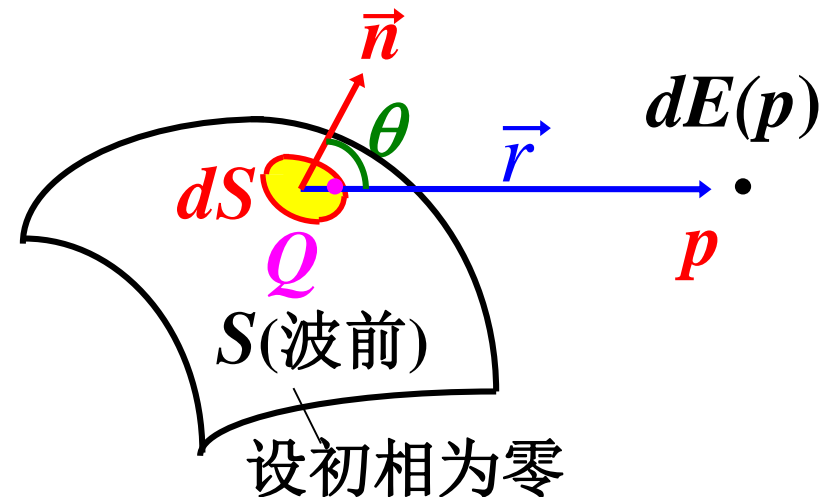
- 衍射问题变成了一个无限多光束的干涉问题。
- 处理问题的关键：计算波源到各面元之间及各面元到  
场点之间的光程差。

$$dE(p) \propto \underline{F(\theta)} E(Q) \frac{e^{ikr}}{r} dS$$

↓  
倾斜因子

$$E(p) = \iint_{\Sigma} C \cdot F(\theta) E(Q) \frac{e^{ikr}}{r} dS$$

菲涅尔衍射公式



## § 4.1 惠更斯—菲涅尔原理

- 1882年以后，基尔霍夫 (Kirchhoff) 解电磁波动方程，也得到了  $E(p)$  的表示式，这使得惠更斯—菲涅耳原理有了波动理论的根据
- 菲涅尔积分公式给出了定量的结果。不过由于倾斜因子  $F(\theta)$  的引入是人为的，无具体的函数形式，使计算复杂化，只能在某些简单情况下有解。

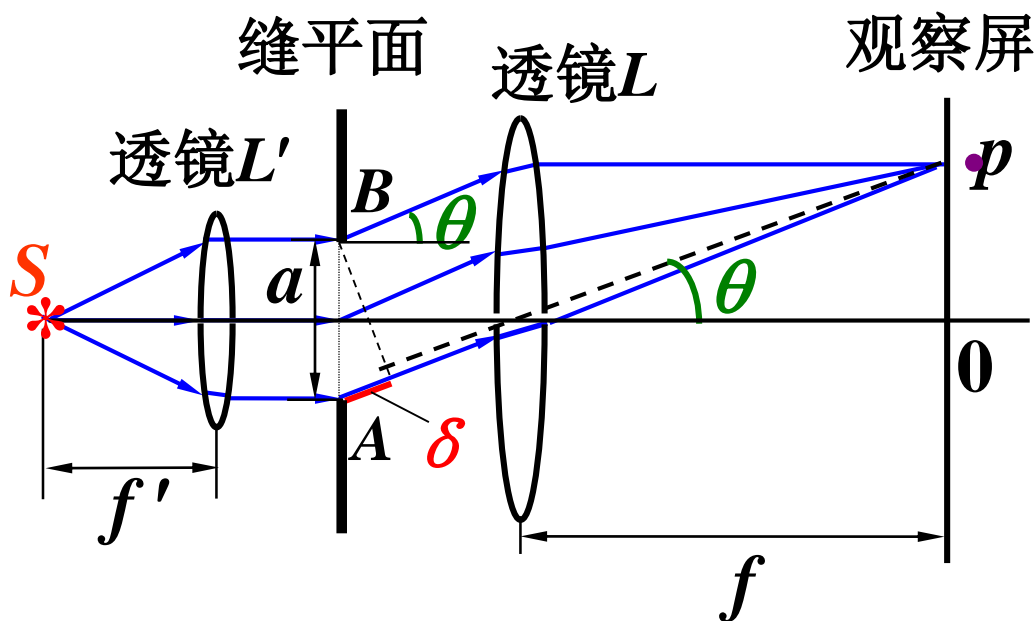
$$F(\theta) : \text{倾斜因子} \begin{cases} \theta = 0, & F = F_{\max} \\ \theta \uparrow \rightarrow F(\theta) \downarrow \\ \theta \geq 90^\circ, & F = 0 \end{cases}$$

对于点光源发出的球面波的倾斜因子

$$F(\theta) = \frac{1 + \cos \theta}{2}$$

## § 4.2 单缝的夫琅禾费衍射

### ■ 装置和光路



$S$ : 单色线光源

$\overline{AB} = a$  (缝宽)

$\theta$ : 衍射角

观察屏上任一点  $P$  的振动, 可用积分法、半波带法和矢量图法求得

## § 4.2 单缝的夫琅禾费衍射

### ■ $i^\circ$ 半波带法

▲  $A \rightarrow p$  和  $B \rightarrow p$  的

光程差为

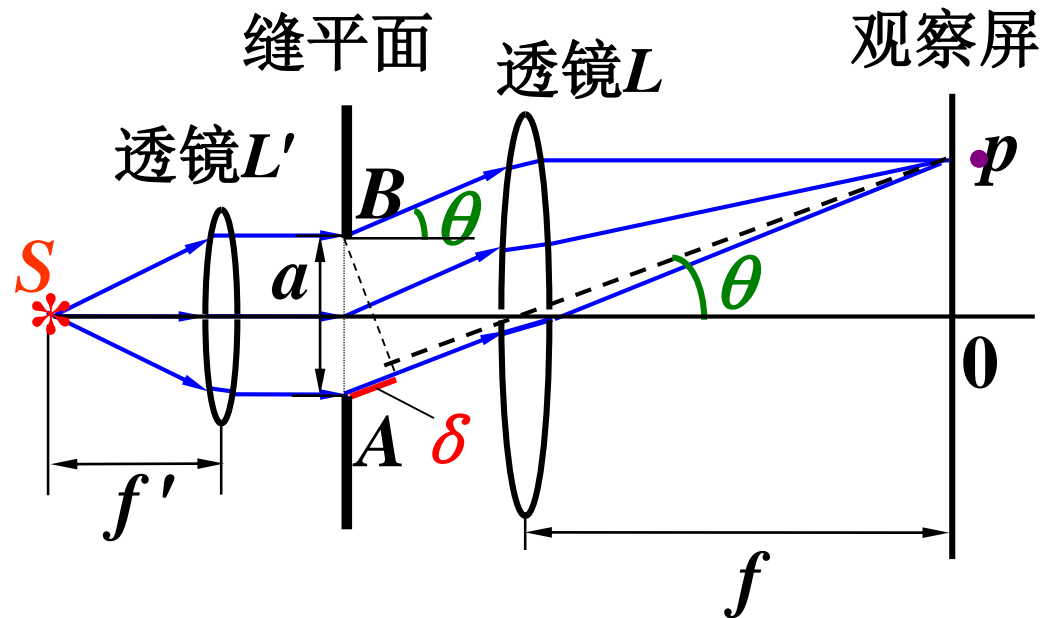
$$\delta = a \sin \theta$$

$$\theta = 0, \quad \delta = 0$$

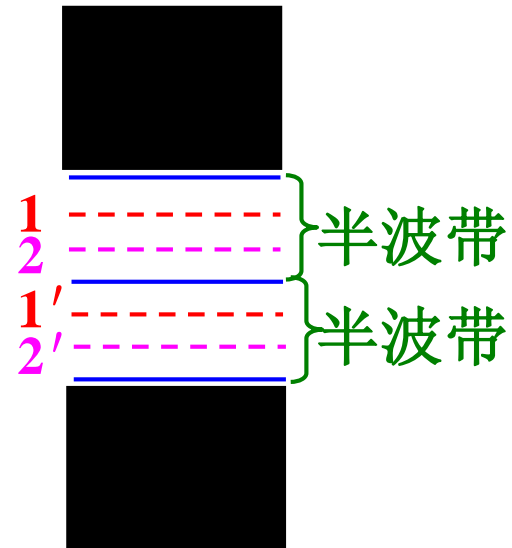
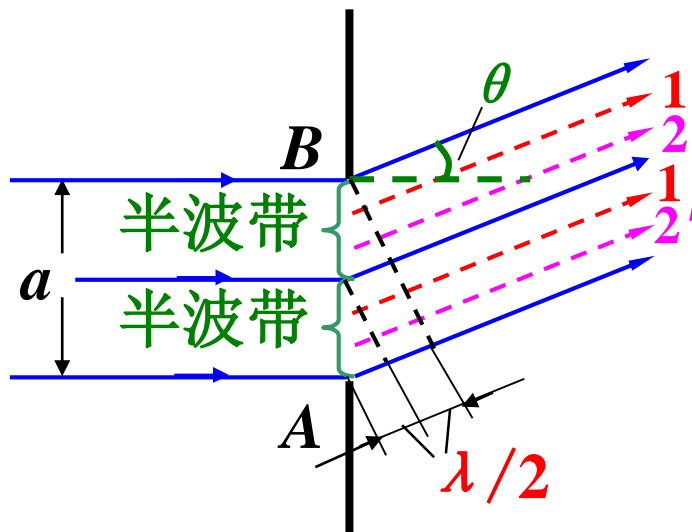
—— 中央明纹 (中心)

$\theta \uparrow \rightarrow \delta \uparrow \rightarrow I_p \downarrow$   
( $p$  点明亮程度变差)

$$2\sqrt{I_1 I_2} \cos \delta$$

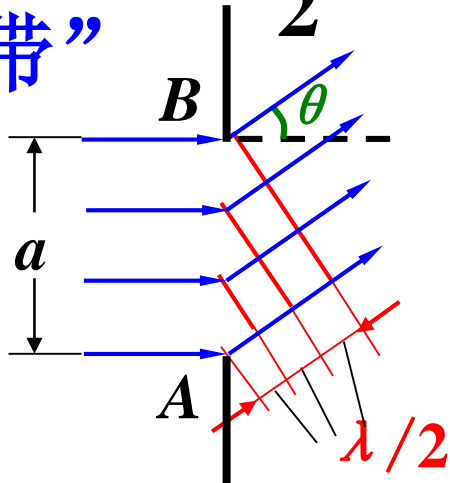


▲  $a \sin \theta = \lambda$  当将缝分为两个“半波带”  
时，



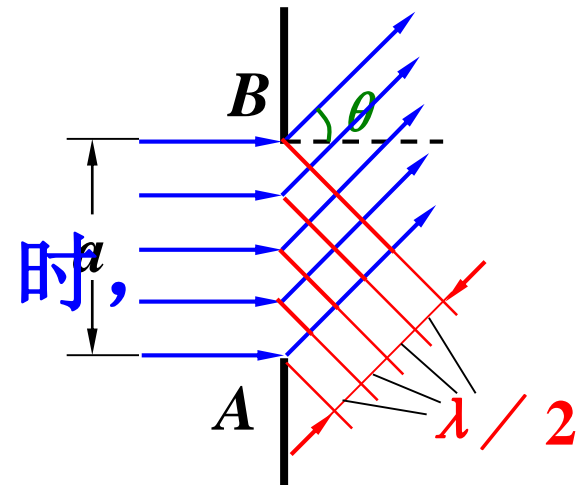
两个“半波带”发的光在  $p$  处干涉相消形成暗纹。

▲ 当  $a \sin \theta = \frac{3}{2} \lambda$   
“半波带”



时，可将缝分成三个  
*P*处为明纹中心（近似）

▲ 当  $a \sin \theta = 2\lambda$   
可将缝分成四个“半波带”，  
形成暗纹。



- 一般情况:

$$a \sin \theta = \pm k \lambda, \quad k = 1, 2, 3 \cdots$$

——暗纹

$$a \sin \theta = \pm (2k' + 1) \frac{\lambda}{2}, \quad k' = 1, 2, 3 \cdots$$

——明纹（中心）

$$a \sin \theta = 0$$

——中央明纹（中心）

上述暗纹和中央明纹（中心）位置是准确的，其余明纹中心的位置较上稍有偏离。

■ ii° 矢量图法

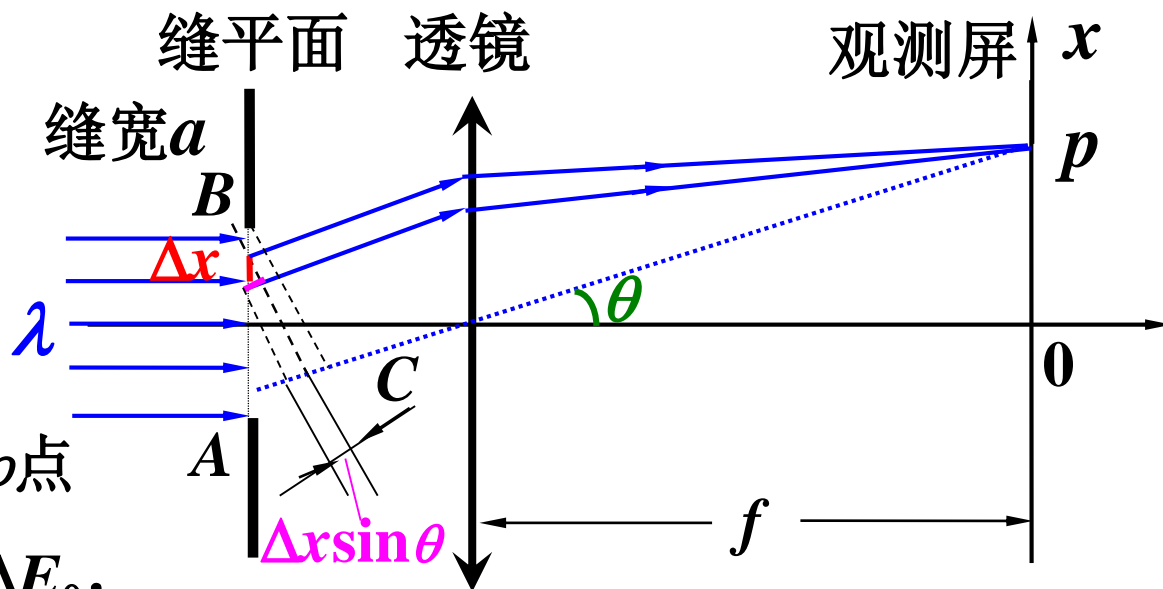
将缝等分成  $N$  个窄带，每个窄带宽为：

$$\Delta x = \frac{a}{N}$$

各窄带发的子波在  $p$  点  
振幅近似相等，设为  $\Delta E_0$ ，

相邻窄带发的子波到  $p$  点的相位差为：

$$\Delta\varphi = \frac{\Delta x \sin \theta}{\lambda} \cdot 2\pi = \frac{a \cdot \sin \theta}{N} \cdot \frac{2\pi}{\lambda} \quad (N \text{ 很大})$$

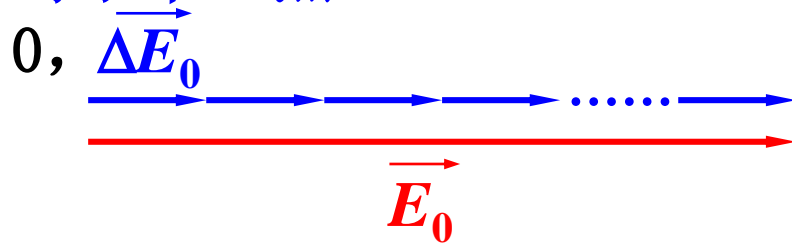




$p$ 点的合振幅 $E_p$  就是各子波的振幅矢量和的模。

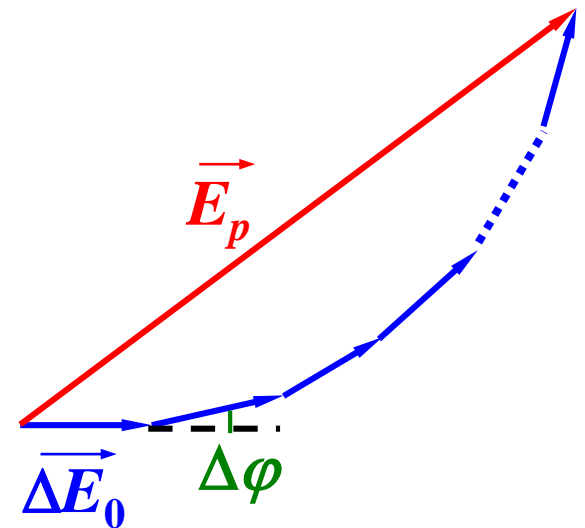
$p$ 点处是多个同方向、同频率、同振幅、初相依次差一个恒量 $\Delta\varphi$  的简谐振动的合成，合成的结果仍为简谐振动。

对于中心点：  $\theta = 0$ ，  $\Delta\varphi = 0$ ，  $E_0 = N \Delta E_0$ 。



对于其他点  $p$ :  $\Delta\varphi \neq 0$ ，  $E_p < E_0$ 。

当 $N \rightarrow \infty$ 时， $N$ 个相接的折线将变为一个圆弧。



## § 4.2 单缝的夫琅禾费衍射

$$\Delta\Phi = N\Delta\varphi = \frac{a \sin \theta}{\lambda} 2\pi$$

$$E_p = 2R \sin \frac{\Delta\Phi}{2}, \quad E_0 = R\Delta\Phi$$

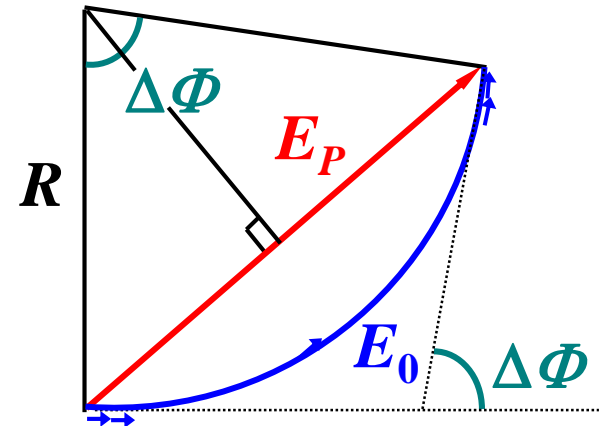
$$E_p = 2 \frac{E_0}{\Delta\Phi} \sin \frac{\Delta\Phi}{2} = \frac{E_0}{\Delta\Phi/2} \sin \frac{\Delta\Phi}{2}$$

令  $\alpha = \frac{\Delta\Phi}{2} = \frac{\pi a \sin \theta}{\lambda}$ , 有  $E_p = E_0 \frac{\sin \alpha}{\alpha}$ ,

又  $I \propto E_p^2$ ,  $I_0 \propto E_0^2$ ,

$\therefore p$ 点的光强

$$I = I_0 \left( \frac{\sin \alpha}{\alpha} \right)^2$$



■ iii° 积分法

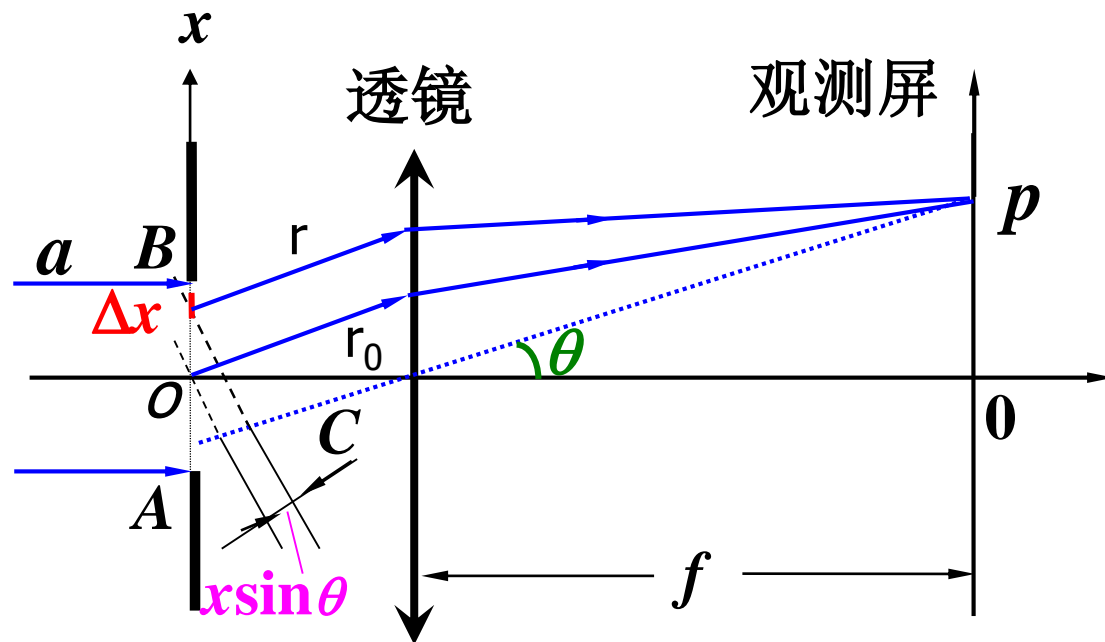
考虑距离O点为 $x$ ,  
宽 $dx$ 的窄条

$$ds = ldx$$

$x$ 点与O点的光程差

$$r = r_0 + \Delta r$$

$$\Delta r = x \sin \theta$$



$$E(p) = \iint_{\Sigma} C \cdot F(\theta) E(Q) \frac{e^{ikr}}{r} dS$$

## ■ 考虑近似

- 对于平行光垂直入射，倾斜因子 $F(\theta) \approx 1$
- 狭缝 $a$ 很小， $E(Q)$ 处处相等，为常数
- $r = r_0 + \Delta r \approx r_0$
- $e^{ikr} = e^{ikr_0} e^{ik\Delta r}$  其中的  $e^{ikr_0}$  为常数

$$E(p) = C' \cdot \int_{-a/2}^{a/2} e^{ik\Delta r} dx = C' \cdot \int_{-a/2}^{a/2} e^{ik \sin \theta \cdot x} dx = C \cdot \frac{\sin \alpha}{\alpha}$$

$$I = E^*(p) \cdot E(p) = I_0 \left( \frac{\sin \alpha}{\alpha} \right)^2$$

与矢量图法  
结果一致。

讨论:

由  $I = I_0 \left( \frac{\sin \alpha}{\alpha} \right)^2$ , 可得到以下结果:

(1) 主极大 (中央明纹中心) 位置:

$$\theta = 0 \text{ 处, } \alpha = 0 \rightarrow \frac{\sin \alpha}{\alpha} = 1 \rightarrow I = I_0 = I_{\max}$$

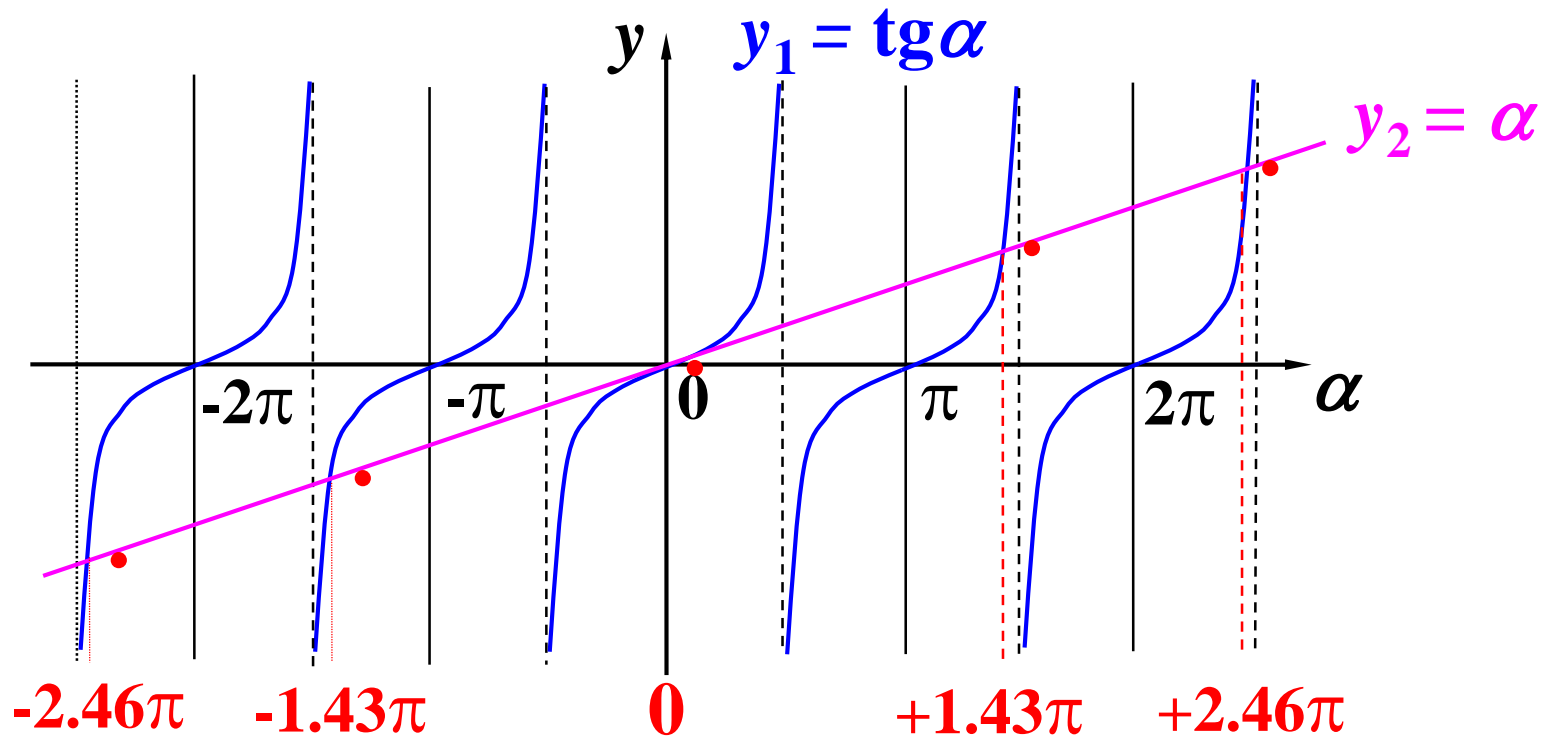
(2) 极小 (暗纹) 位置:

$$\alpha = \pm k\pi, \quad k = 1, 2, 3 \cdots \text{时, } \sin \alpha = 0 \rightarrow I = 0$$

$$\left. \begin{array}{l} \text{由 } \alpha = \frac{\pi a \sin \theta}{\lambda} = \pm k\pi \rightarrow a \sin \theta = \pm k\lambda \\ \text{或由 } N\Delta\varphi = \pm 2k\pi \rightarrow a \sin \theta = \pm k\lambda \end{array} \right\} \text{一致}$$

这正是缝宽可以分成偶数个半波带的情形。

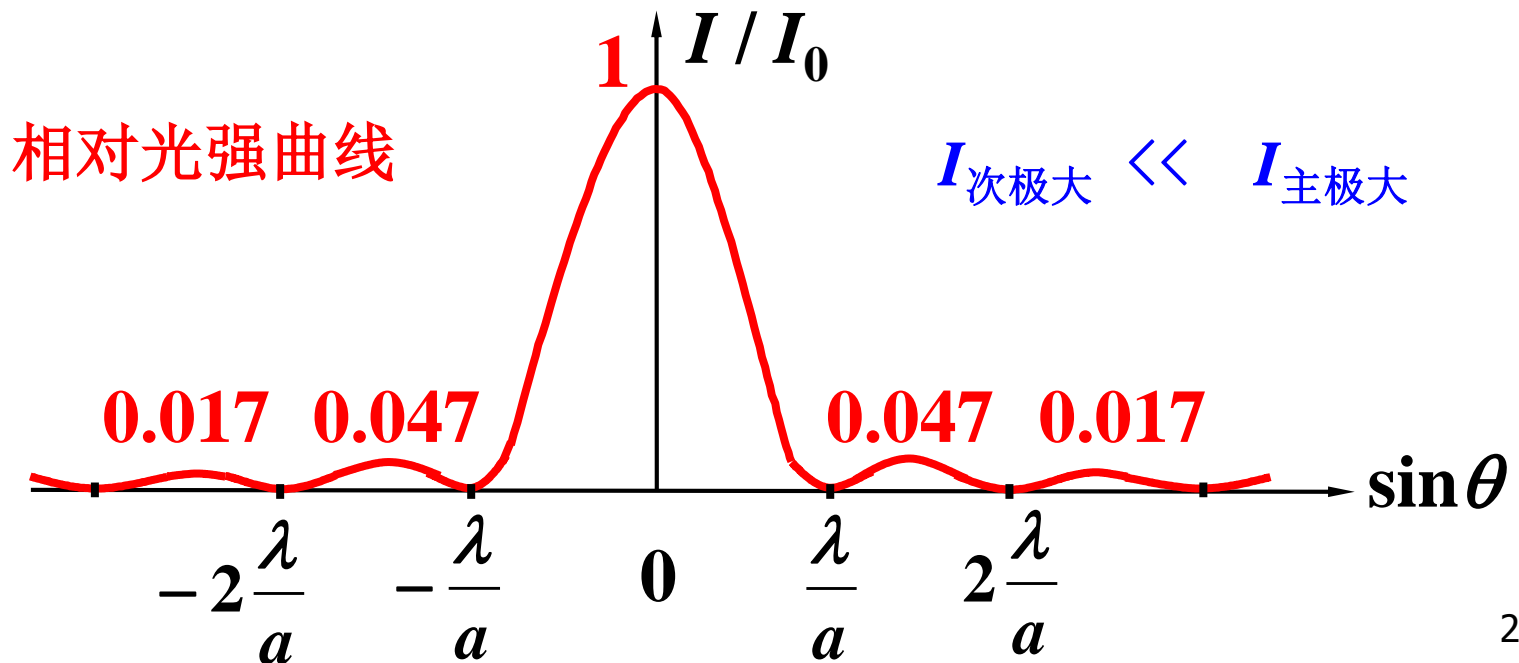
(3) 次极大位置：满足  $\frac{dI}{d\alpha} = 0 \rightarrow \operatorname{tg} \alpha = \alpha$



相应：

(4) 光强： 将  $\alpha = \pm 1.43\pi, \pm 2.46\pi, \pm 3.47\pi, \dots$

依次带入光强公式  $I = I_0 \left( \frac{\sin \alpha}{\alpha} \right)^2$ ，得到从中央往外各次极大的光强依次为  $0.0472I_0$ ，  $0.0165I_0$ ，  $0.0083I_0$   $\dots$



## (5) 条纹宽度

## ① 中央明纹宽度

对于近轴近似,

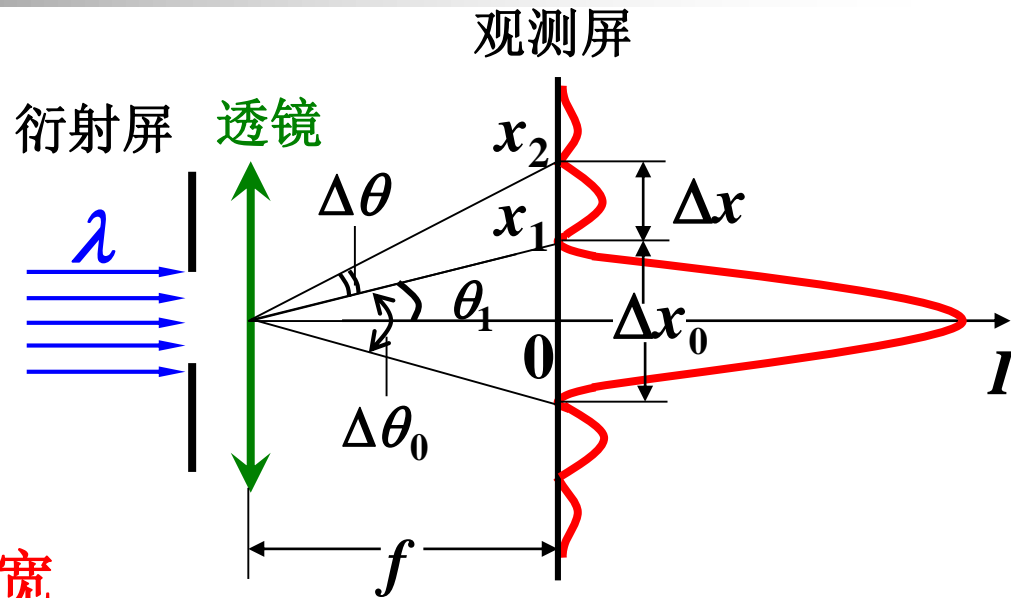
$$\text{角宽度 } \Delta\theta_0 = 2\theta_1 \approx 2\frac{\lambda}{a}$$

中央亮纹的边缘对应的衍射角  $\theta_1$ , 称为**中央亮纹的半角宽**

$$\text{线宽度 } \Delta x_0 = 2f \cdot \tan\theta_1 = 2f\theta_1 = 2f \frac{\lambda}{a} \propto \frac{\lambda}{a}$$

## ② 其他明纹（次极大）宽度

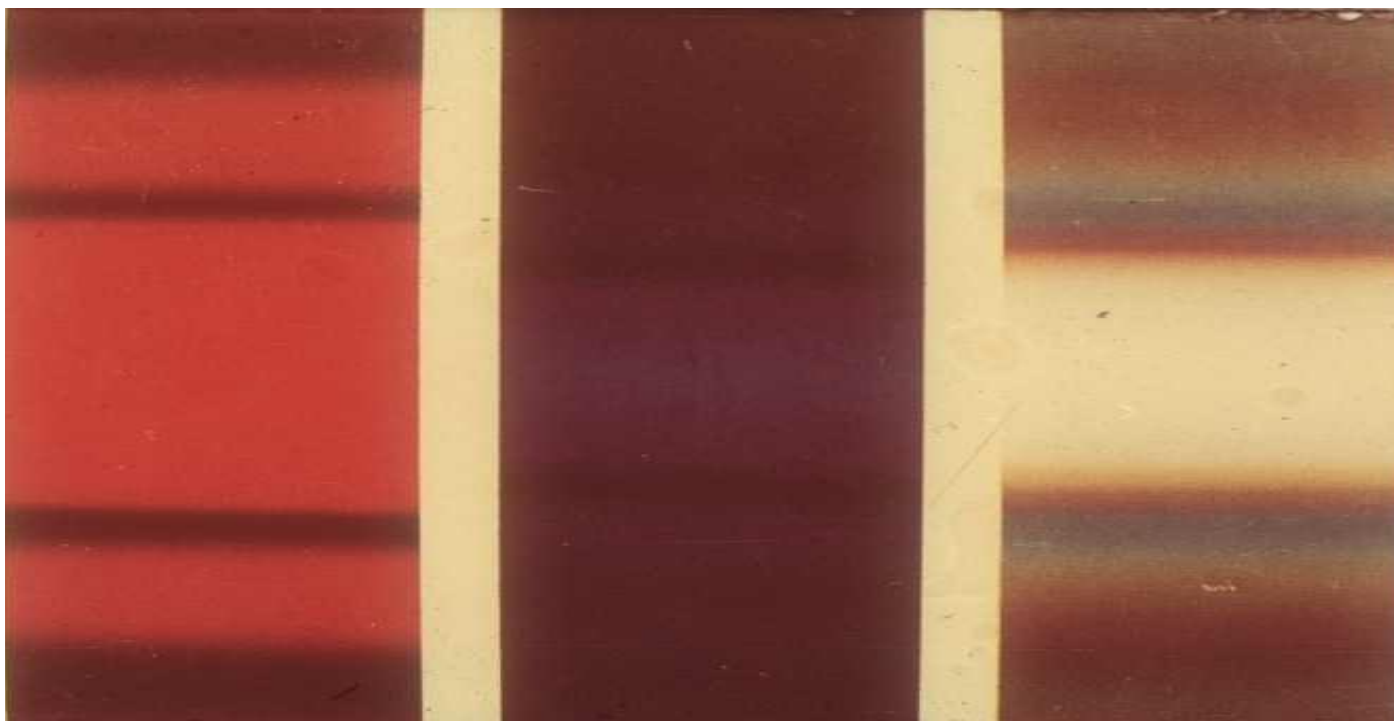
$$x_k \approx f \sin\theta_k = f \frac{k\lambda}{a} \rightarrow \Delta x \approx f \frac{\lambda}{a} = \frac{1}{2} \Delta x_0$$



单缝衍射明条纹宽度的特征



## § 4.2 单缝的夫琅禾费衍射



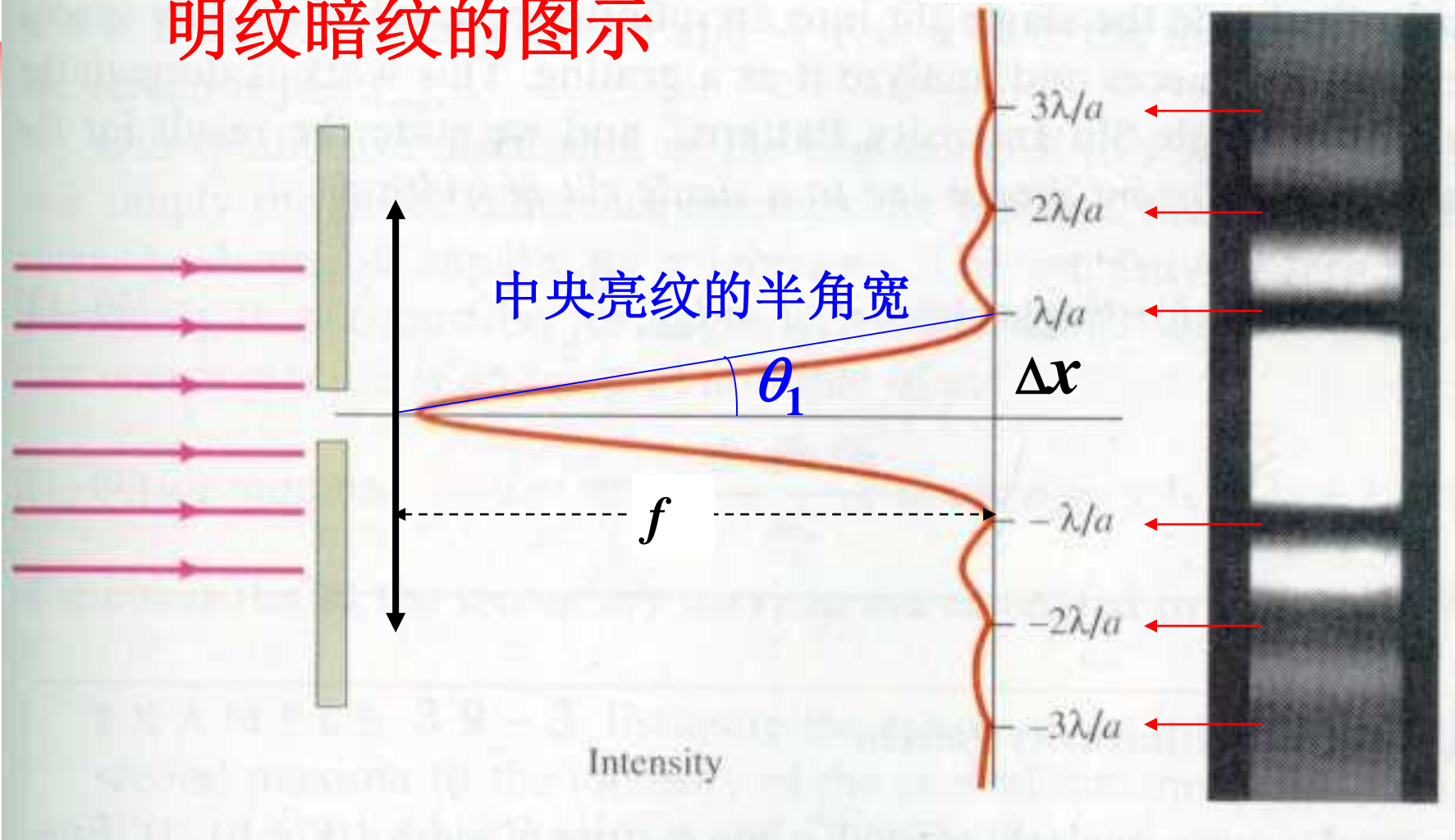
红光

紫光

白光

## 明纹暗纹的图示

$$\sin \theta = \Delta x / f$$



(6) 波长对条纹间隔的影响

$\Delta x \propto \lambda$  — 波长越长, 条纹间隔越宽。

(7) 缝宽变化对条纹的影响

◆ 当缝极宽  $\frac{\lambda}{a} \rightarrow 0$  时, 各级明纹向中央靠拢, 密集得无法分辨, 只显出单一的亮条纹, 这就是单缝的几何光学像。

此时光线遵从直线传播规律。

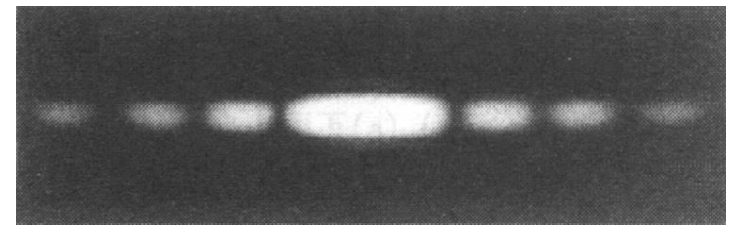
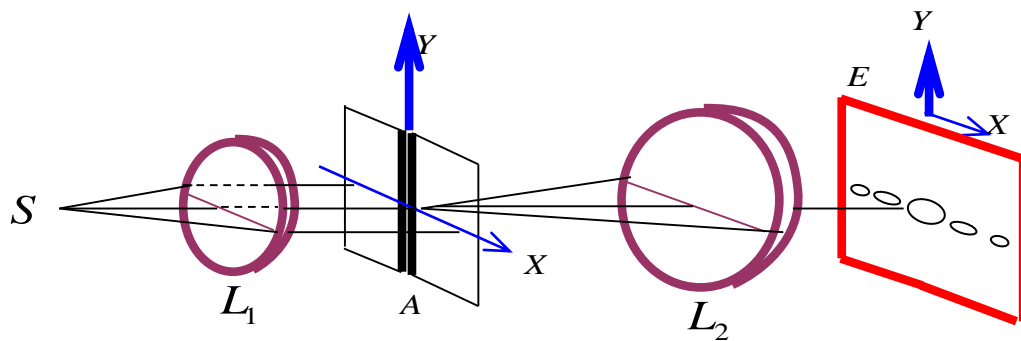
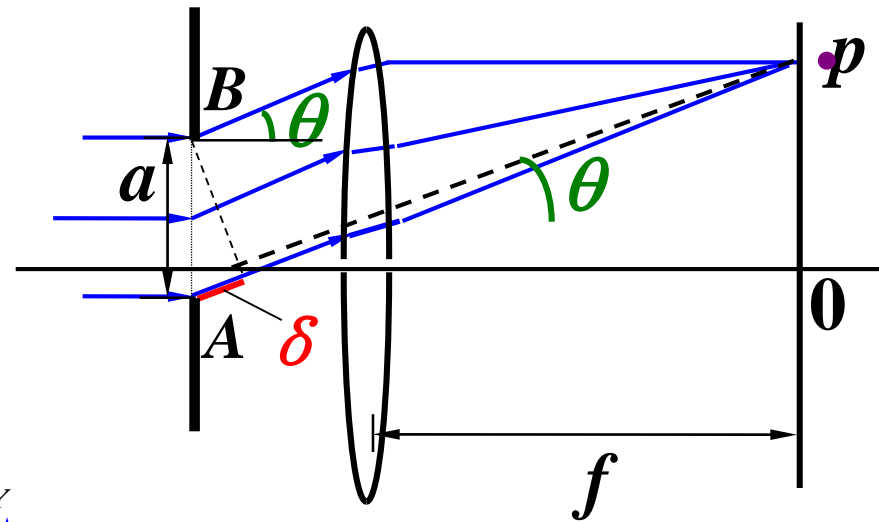
◆ 当缝极细 ( $a \approx \lambda$ ) 时,  $\sin \theta_1 \approx 1$ ,  $\theta_1 \approx \pi/2$

衍射中央亮纹的两端延伸到很远很远的地方, 屏上只接到中央亮纹的一小部分(较均匀), 当然就看不到单缝衍射的条纹了。这就是我们前面只考虑干涉, 不考虑缝的衍射的缘故

## § 4.2 单缝的夫琅禾费衍射

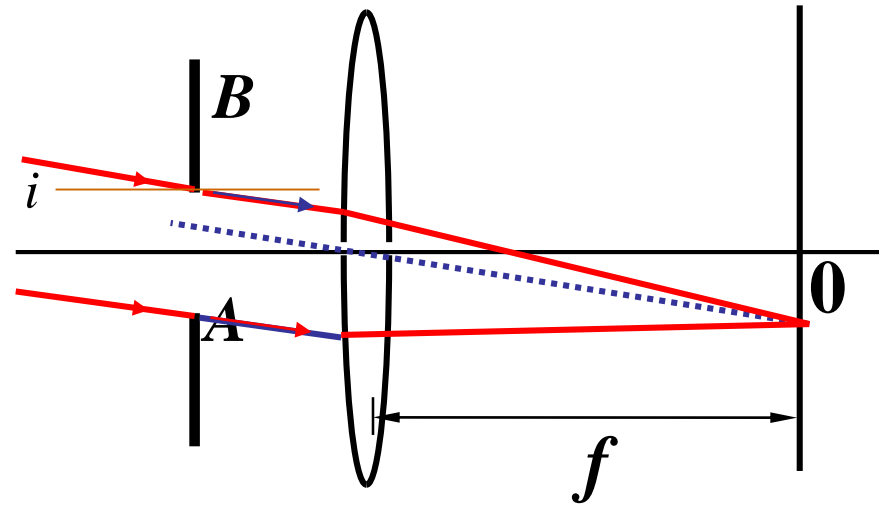
(8) 若单缝偏离光轴，由于入射角不变，所以衍射条纹不变。

单缝衍射条纹沿与缝长正交方向延伸

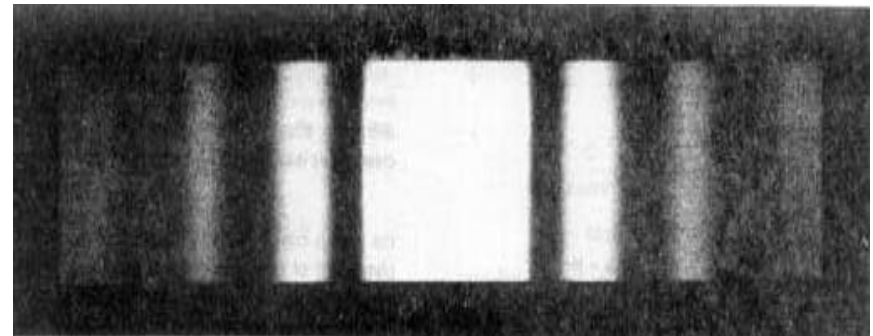


## § 4.2 单缝的夫琅禾费衍射

(9) 若光源偏离光轴，这时为平行光非垂直入射。在缝前造成的最大光程差为  $a \sin i$ ，其结果使得衍射条纹偏离光轴。



用缝光源→点光源后，  
衍射条纹→竖条纹。



## (8) 干涉和衍射的联系与区别:

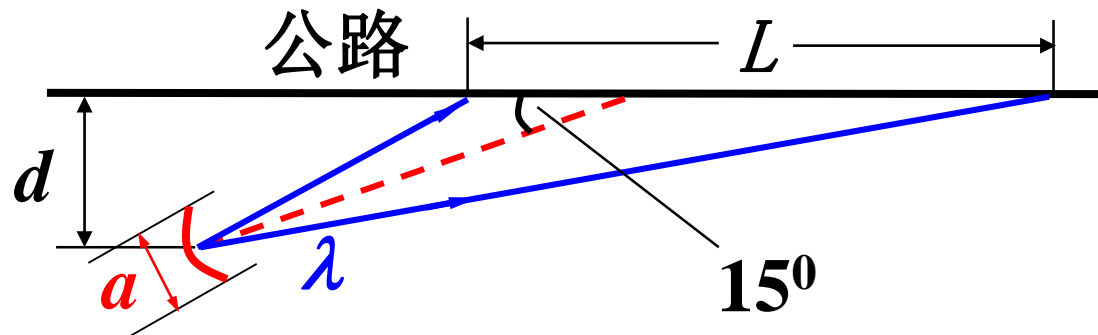
从本质上讲干涉和衍射都是波的相干叠加，  
没有区别。

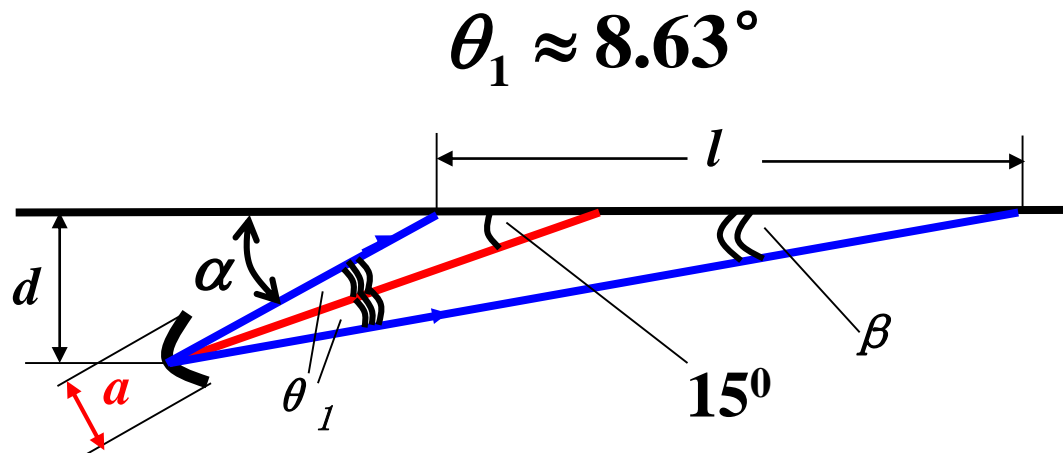
通常：干涉指的是**有限多的子波**的相干叠加，  
衍射指的是**无限多的子波**的相干叠加，

二者常常同时存在。

例如，不是**极细缝**情况下的双缝干涉，就应该  
既考虑双缝的干涉，又考虑每个缝的衍射。

已知：一波长为 $\lambda = 30\text{mm}$ 的雷达在距离路边为 $d = 15\text{m}$ 处，雷达射束与公路成 $15^\circ$ 角，天线宽度 $a = 0.20\text{m}$ 。求雷达监视范围内公路的长度 $L$ 。





【解】将雷达波束看成集中在单缝衍射的0级明纹上，

$$\text{有 } \sin \theta_1 = \frac{\lambda}{a} = \frac{30\text{mm}}{0.20\text{m}} = 0.15$$

$$\rightarrow \theta_1 \approx 8.63^\circ$$

$$\therefore l = d(\text{ctg} \beta - \text{ctg} \alpha)$$

$$= 15(\text{ctg} 6.37^\circ - \text{ctg} 23.63^\circ) \approx 100\text{m}$$



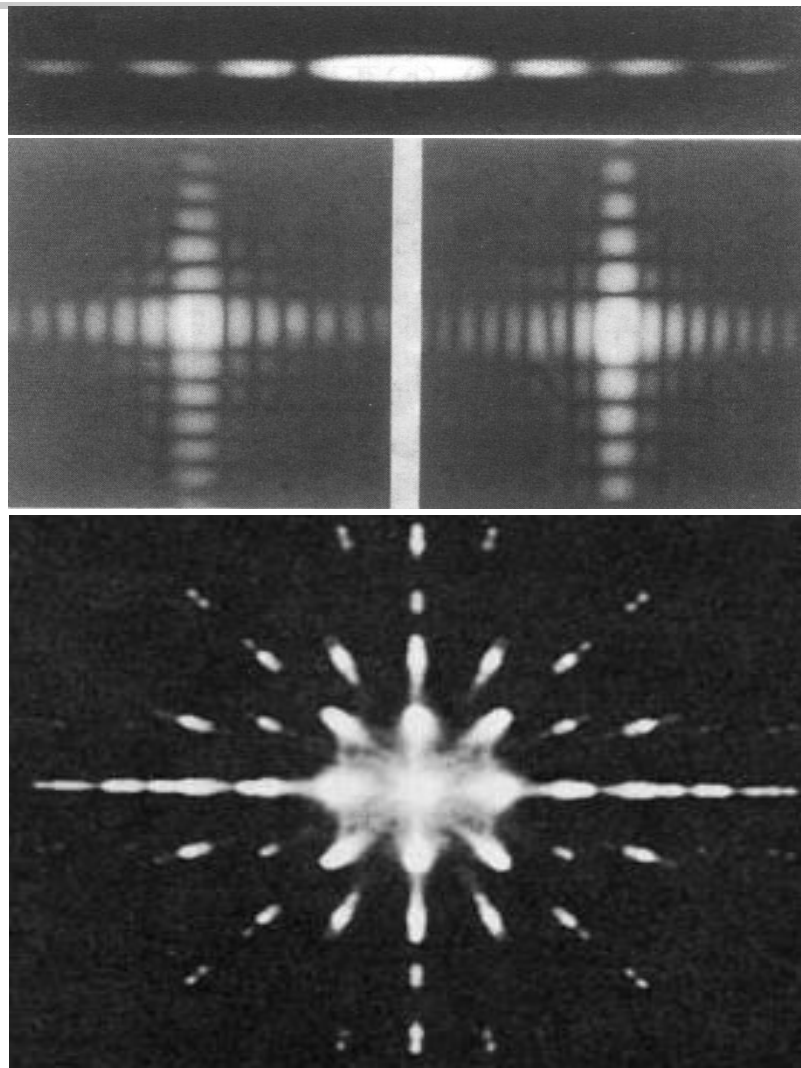
## § 4.3 光学仪器的分辨本领

### 1. 夫琅禾费单缝衍射的变化

点光源单缝衍射图象是沿单缝的正交方向展开的。

单缝的长边收缩后，也会出现与之垂直方向的衍射条纹，同时出现交叉相。

$$I = I_0 \left( \frac{\sin \alpha}{\alpha} \right)^2 \left( \frac{\sin \beta}{\beta} \right)^2$$



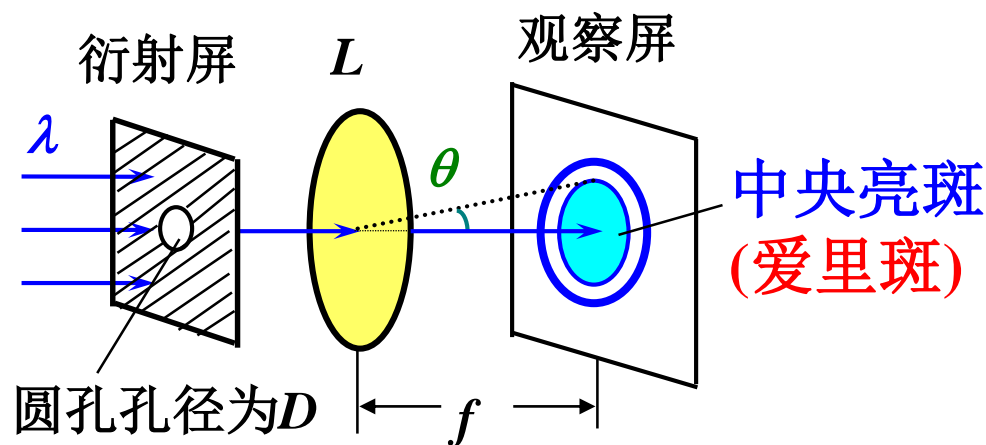
## 2. 圆孔的夫琅禾费衍射

一阶贝塞尔函数

第一级极小

$$\sin \theta = 1.22 \frac{\lambda}{D}$$

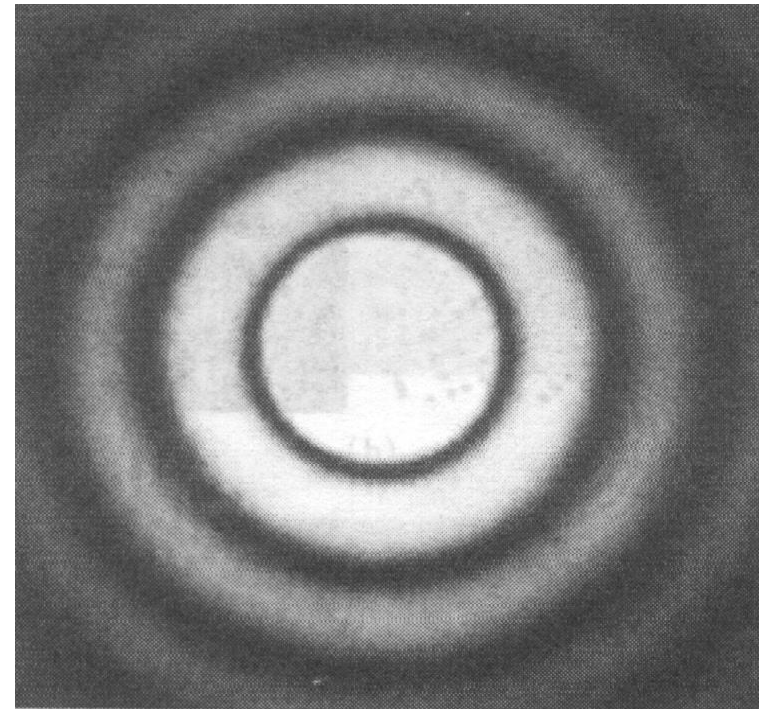
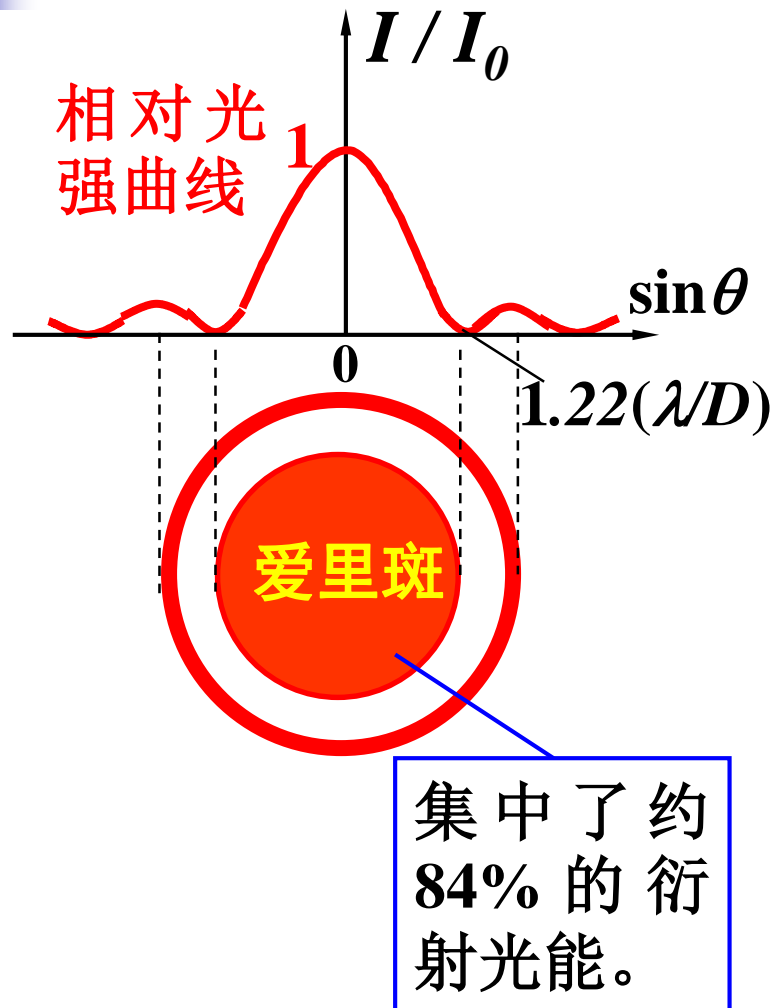
爱里斑的角半径

 $\left. \begin{array}{l} D \uparrow \\ \lambda \downarrow \end{array} \right\} \text{爱里斑变小}$ 


爱里斑的半径为:

$$r_0 = \theta f = 1.22 \lambda f / D$$

## § 4.3 光学仪器的分辨本领



圆孔的夫琅禾费衍射

### 3. 透镜的分辨本领

( 经透镜 )

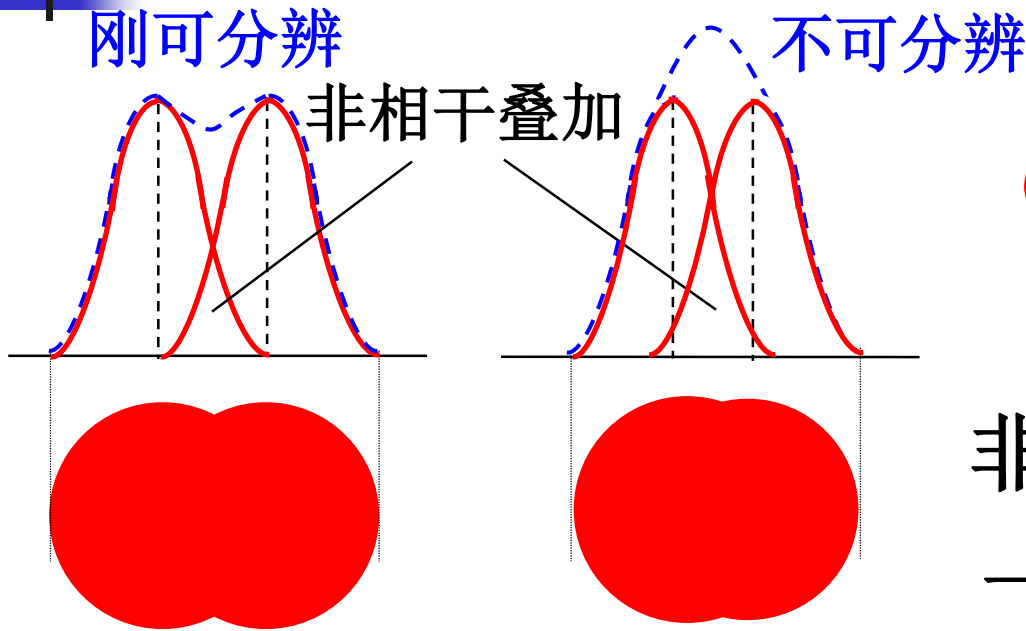
几何光学： 物点  $\Rightarrow$  象点  
物(物点集合)  $\Rightarrow$  象(象点集合)

波动光学： ( 经透镜 )

物点  $\Rightarrow$  象斑

物(物点集合)  $\Rightarrow$  象(象斑集合)

衍射限制了透镜的分辨能力。

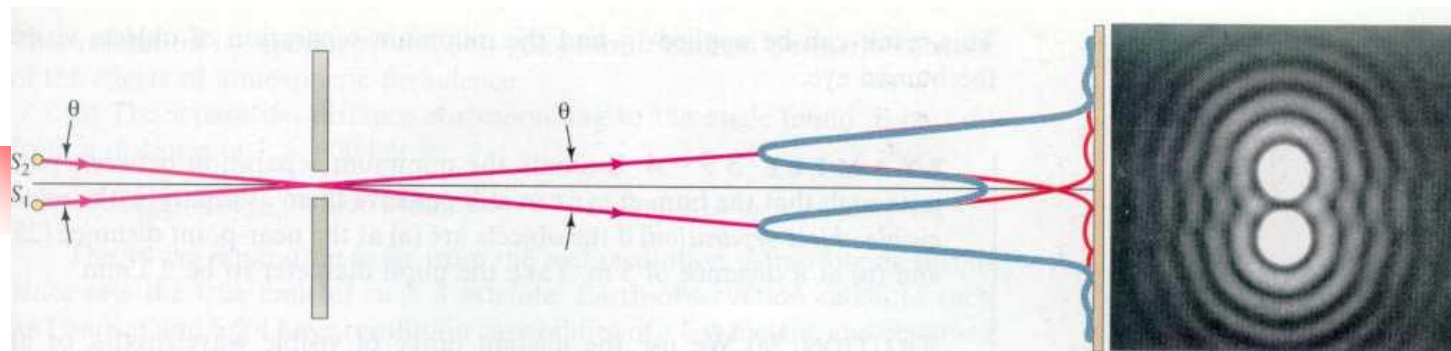


**瑞利判据：**  
(Rayleigh criterion)

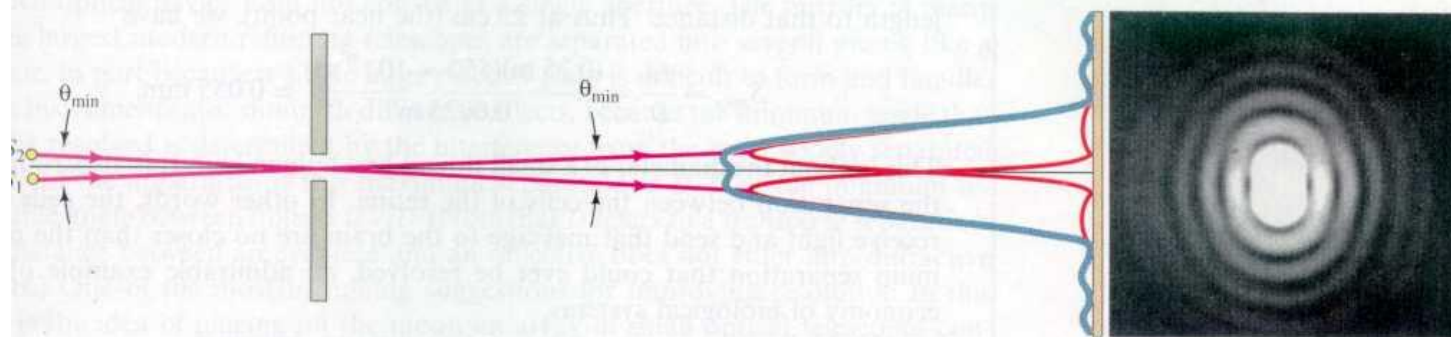
对于两个等光强的  
非相干的物点，如果  
一个象斑的中心恰好

落在另一象斑的边缘（第一暗纹处），则此两  
物点被认为是刚刚可以分辨的。

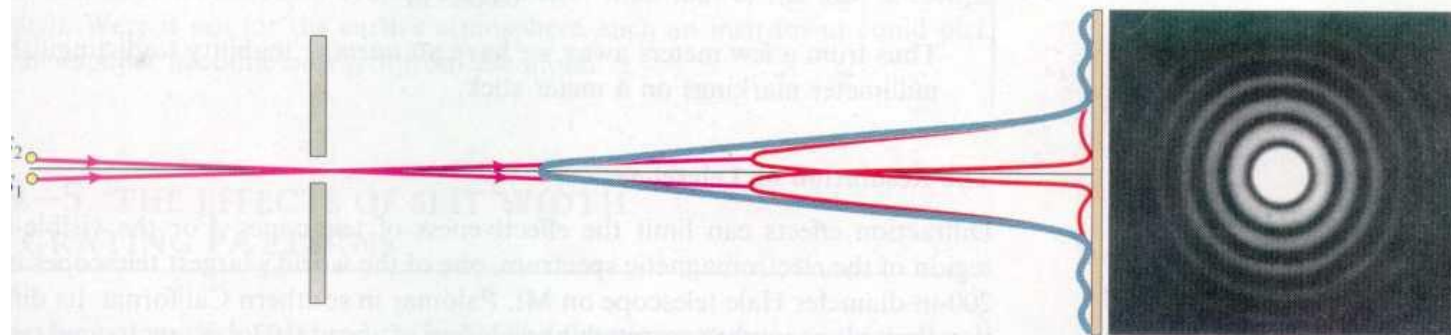
# 小孔（直径 $D$ ）对两个靠近的遥远的点光源的分辨



点光源距  
离较大  
可分辨



符合  
瑞利  
判据



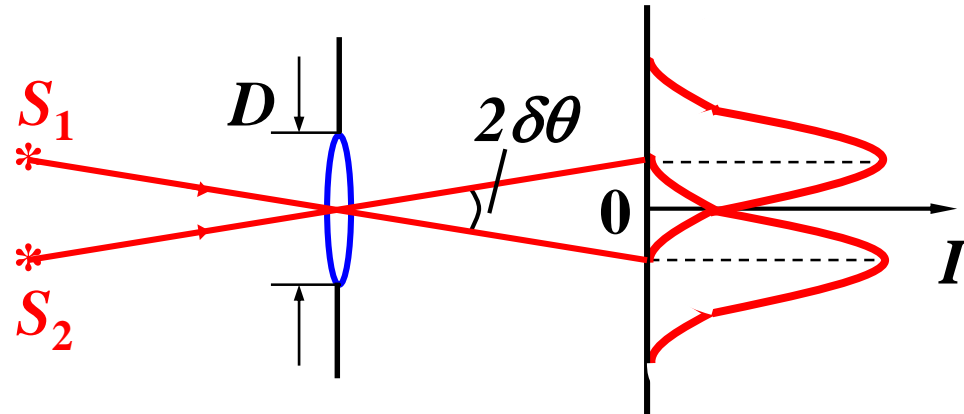
点光源距  
离太小  
不可分辨

## 最小分辨角

$$\delta\theta = \theta_1 \approx 1.22 \frac{\lambda}{D}$$

## 分辨本领

$$R \equiv \frac{1}{\delta\theta} = \frac{D}{1.22\lambda}$$



$$\left. \begin{array}{l} D \uparrow \\ \lambda \downarrow \end{array} \right\} \rightarrow R \uparrow$$



## § 4.3 光学仪器的分辨本领

望远镜:  $\lambda$  不可选择, 可  $\uparrow D \rightarrow \uparrow R$

▲ 世界上最大的**光学**望远镜:  $D = 8 \text{ m}$  建在夏威夷山顶, **1999**年建成

▲ 世界上最大的**射电**望远镜:  $D = 305 \text{ m}$ , 建在波多黎各岛。能探测射到整个地球表面仅  $10^{-12} \text{ W}$  的功率, 也可探测引力波。





**显微镜：**  $D$  不会很大，可  $\downarrow \lambda \rightarrow \uparrow R$

电子  $\lambda$  :  $0.1\text{\AA} \sim 1\text{\AA}$  ( $10^{-2} \sim 10^{-1} \text{ nm}$ )

$\therefore$  电子显微镜分辨本领很高

▲ 在正常照明下，人眼瞳孔直径约为  $3\text{mm}$ ，

对  $\lambda = 5500\text{\AA}$  的光， $\delta\theta \approx 1'$

可分辨约  $9\text{m}$  远处的相距  $2\text{mm}$  的两个点

▲ 夜间观看汽车灯，远看是一个亮点，逐渐移近才看出两个灯。

### ■ 问题：

有人说在航天飞机上，用肉眼能够看见的地球上的唯一的人造建筑物是长城。这一说法对吗？

长城宽度： **$L \sim 10 \text{ m}$**

人眼瞳孔直径约为： **$3 \text{ mm}$**

航天飞机高度： **$h \sim 200 \text{ km}$**

设圆孔半径 $R_1=0.1mm$ ， $L_2$ 的焦距 $f=50cm$ ， $\lambda=500nm$   
试求：在接收屏上爱里斑的半径；若圆孔半径改用 $R_2=1.0mm$ ，其它条件不变，爱里斑半径变为多大？  
这两个爱里斑的半径上平均光强的比为多少？

解：因为  $r_0 = \theta_0 f = 1.22 \lambda f / D$

$$\text{所以： } r_{01} = 1.22 \times \frac{500 \times 10^{-9} \times 50 \times 10^{-2}}{2 \times 0.1 \times 10^{-3}} = 1.5 \times 10^{-3} m$$

$$r_{02} = 1.22 \times \frac{500 \times 10^{-9} \times 50 \times 10^{-2}}{2 \times 1.0 \times 10^{-3}} = 1.5 \times 10^{-4} m$$

设入射光的能流密度为  $I_0$  (即光强) , 则穿过半径为  $R_1$  和  $R_2$  圆孔的光能流分别为:

$$P_1 = I_0 \cdot \pi R_1^2 \qquad P_2 = I_0 \cdot \pi R_2^2$$

$$P_1 / P_2 = R_1^2 / R_2^2 = 10^{-2}$$

爱里斑上集中了衍射光能的83.8% , 所以爱里斑上平均光强之比为:

$$\frac{I_{01}}{I_{02}} = \frac{P_1 \times 83.8\% / \pi r_{01}^2}{P_2 \times 83.8\% / \pi r_{02}^2} = 10^{-4}$$

可见, 爱里斑半径缩小  $10^{-1}$  倍 (  $r_{01} / r_{02} = 10$  ) , 但爱里斑上平均光强却增大  $10^4$  倍。

衍射的要点： 衍射角  $\theta$

暗纹中心衍射方向满足  $a \sin \theta = 2k\lambda / 2$

暗纹中心在屏上位置  $x = k\lambda \cdot f / a$   $k = \pm 1, \pm 2 \dots$

$r_0 = \theta_0 f = 1.22\lambda f / D$  爱里斑的半径



# Joseph von Fraunhofer



Born: 6 March 1787 in Straubing, Bavaria,

Died: 7 June 1826 in Munich

# Gustav Robert Kirchhoff



Born: 12 March 1824 in Königsberg, Prussia  
(now Kaliningrad, Russia)

Died: 17 Oct 1887 in Berlin, Germany

# John William Strutt Lord Rayleigh



Born: 12 Nov 1842 in Langford Grove (near Maldon),  
Essex, England

Died: 30 June 1919 in Terling Place, Witham,  
Essex, England